

УДК 533.697.3 : 621.375.826

ТОРМОЖЕНИЕ СВЕРХЗВУКОВОГО ПОТОКА
В ПРЯМОУГОЛЬНОМ КАНАЛЕ ПОСТОЯННОГО СЕЧЕНИЯ

M. Г. Кталхерман, В. М. Мальков, Н. А. Рубан

(*Новосибирск*)

Изучению области перехода от сверхзвукового к дозвуковому течению в канале [1] посвящен ряд работ (см. [2] и библиографию к ней). Течение в этой области, называемой псевдоскачком, — сложный процесс взаимодействия скачков уплотнения с диссиликативной пристенной областью, о деталях которого нет полной ясности. Ввиду этого основные усилия были сосредоточены на получение «интегральных» характеристик псевдоскачка, представляющих наибольший интерес для практических приложений.

В большинстве работ рассматривалось течение в круглых и квадратных трубах. Сведений об эффективности сверхзвуковых диффузоров других геометрических форм мало, и часто они противоречат сложившимся представлениям о псевдоскачке. В проведенных сравнительно недавно экспериментах с прямоугольными каналами отмечена низкая эффективность восстановления давления, особенно при больших соотношениях сторон. Так, в [3—7] рост давления при торможении сверхзвукового потока в 1,3—2 раза меньше, чем в [1]. Причины столь значительного снижения эффективности неясны. Для прямоугольных каналов нет также достаточно общей зависимости длины псевдоскачка от соотношения сторон.

Данная работа предпринята с целью пополнить знания о характеристиках сверхзвукового диффузора постоянной площади с прямоугольным сечением и провести анализ имеющихся экспериментальных результатов.

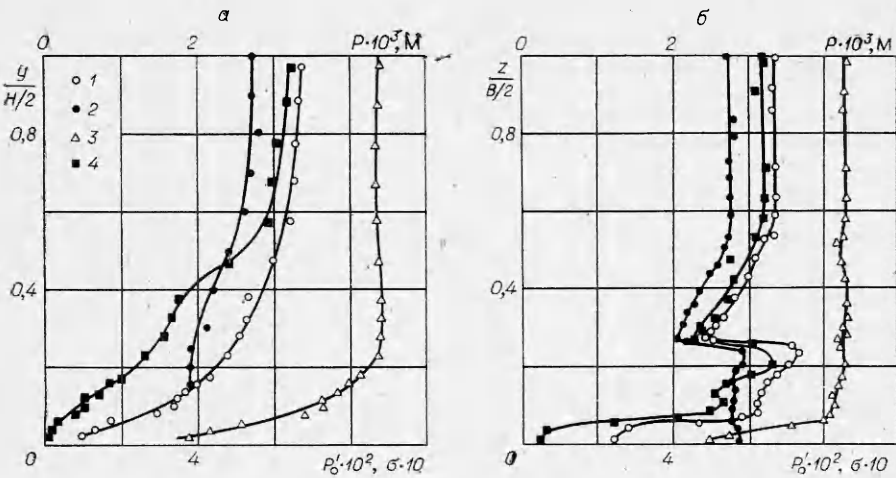
1. Для проведения опытов использовалась аэродинамическая труба. Холодный сухой воздух из баллонов поступал в форкамеру с выравнивающей сеткой и через сверхзвуковое сопло — в прямоугольный канал, подсоединененный к эжектору. Канал собирался из четырех секций общей длиной ~ 1400 мм. Его высота $h = 21$ мм, ширина $b = 80$ мм, $B = b/h = 3,8$. С целью изучения влияния соотношения сторон на характеристики псевдоскачка с помощью перегородок рабочая часть разбивалась на три канала сечением 21×25 мм ($B = 1,2$) или два канала сечением 9×80 мм ($B = 8,9$). Перегородки устанавливались на расстоянии 25 мм от выходного сечения сопла. Их передние и задние кромки имели форму клина с полууглом 10° .

Верхняя (широкая) стенка, являющаяся продолжением профицированной стенки сопла, снабжена дренажными отверстиями, расположеннымими вдоль центральной линии. Помимо давления на стенке, в нескольких сечениях канала с помощью микронасадков измерялись профили полного напора и статического давления.

В экспериментах использовались три сверхзвуковых сопла прямоугольного сечения и два блока осесимметричных сопел (сотовые сопла). Основные размеры сопел приведены в табл. 1, где h^* — высота критического сечения, l_c — длина сверхзвуковой части сопла, A/A^* — соотношение площадей выходного и критического сечений. Сопла I и II минимальной длины, острые кромки в области критического сечения скруглены.

Таблица 1

Номер сопла	h^* , мм	h , мм	l_c , мм	A/A^*
I	0,7	21	56	30
II	0,4	21	56	52,5
III	0,5	21	45	42,5



Фиг. 1

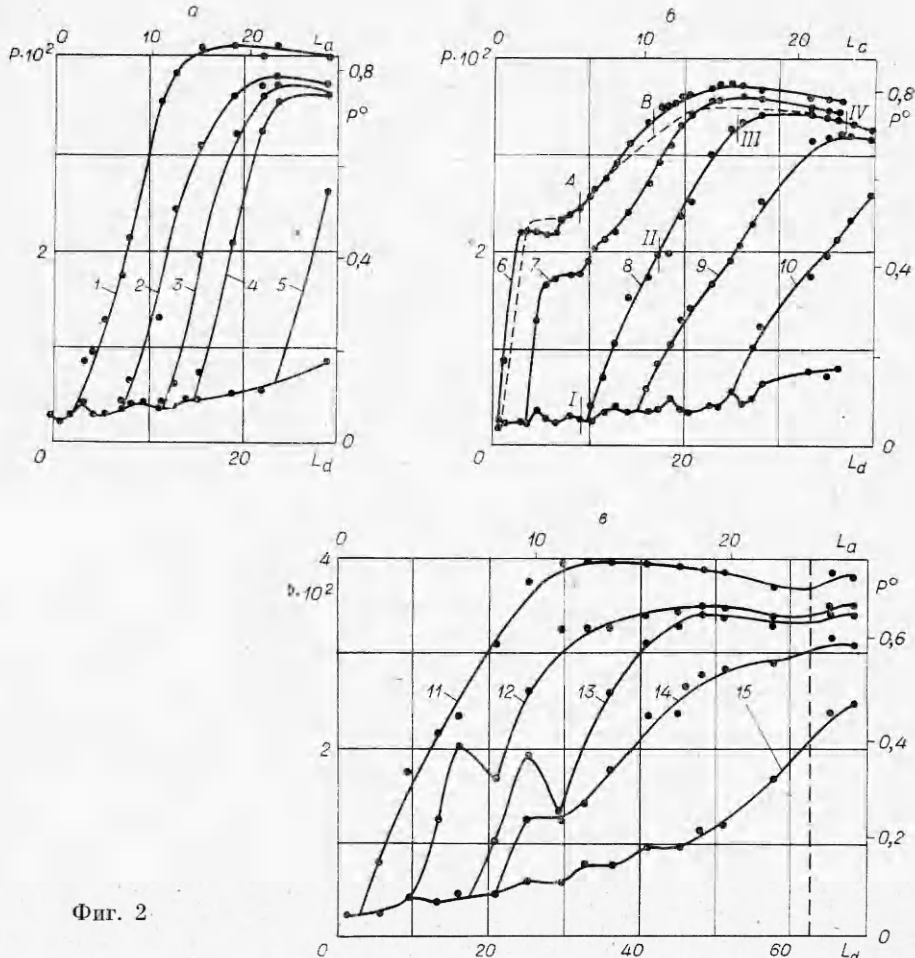
на по радиусу $\sim 0,5$ мм. Сверхзвуковой контур сопла III выполнен по дуге окружности, на выходе направление стенок совпадало с направлением течения. В трансзвуковой области во всех вариантах имелся прямолинейный участок длиной $\sim 0,2$ мм. Дозвуковая часть сопел I и III клиновидная с полууглом 60° , а сопло II имело контур, спрофилированный по формуле Витошинского.

Сотовые сопла состояли из системы мелких отверстий, компактно расположенных в пластине. В первом варианте конические сопла с полууглом раскрытия 10° , критическим диаметром $d^* = 1,1$ мм и диаметром на выходе $d = 5,7$ мм размещены в четыре ряда в шахматном порядке. Площадь на срезе в 26,8 раза превосходила критическую, а отношение площади рабочего канала (21×80 мм) к суммарной площади критических сечений составляло 35,3. Во втором варианте количество сопел и порядок их расположения не изменились, но их сверхзвуковая часть имела профиль минимальной длины, а угол контура с осью канала на срезе составлял $\sim 4^\circ$. Основные размеры: $d^* = 1,2$ мм, $d = 5,9$ мм, соответствующие отношения площадей 24,6 и 29,7. Длина блоков в направлении течения 15 мм. Дозвуковая часть изготавливается конической с полууглом 60° , а в трансзвуковой области имелся цилиндрический участок протяженностью 0,5 мм.

2. На фиг. 1 для сопла I в сечении высотой 20 мм показаны безразмерные профили полного напора $P'_0 = p'_0 / p_\phi$ (p'_0 — полное давление за прямым скачком перед носиком насадка), статического давления $P = p / p_\phi$, а также вычисленные по p'_0 и p значения коэффициентов восстановления полного давления $\sigma = p'_0 / p_\phi$ и чисел Маха M (точки 1—4 соответствуют $P'_0 \cdot 10^2$; $P \cdot 10^3$; M ; $\sigma \cdot 10$). Измерения проводились вдоль осей симметрии сечения. Координата $y = 0$ соответствует нижней (широкой), а $z = 0$ — боковой стенке. Давление торможения в этих опытах $p_\phi = 2,1$ МПа.

Неравномерность профиля $P(y)$ связана с характером обтекания угловой точки сопла (подробнее см. в [8]). Значительная неоднородность параметров по оси z объясняется тем, что боковые стенки сопла непрофилированные. В этом случае вблизи критического сечения зарождается ударная волна, направленная перпендикулярно широкой стенке [9].

На основании экспериментальных данных была определена толщина вытеснения пограничного слоя над широкой стенкой канала ($\delta^* = 0,87$ мм). Расчет по соотношению, полученному на основании опытов с соплами аэродинамических труб [10], дал значение $\delta^* = 0,64$ мм. Следует отметить значительное отличие чисел Маха в ядре потока от значений, определяемых степенью расширения сопла (M^0). Вблизи оси канала



Фиг. 2

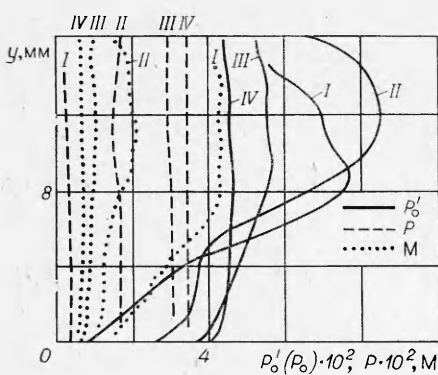
$M \approx 4,35$, в то время как $M^0 = 5,13$. Наличие в потоке ударных волн приводит к большим потерям полного давления (на оси канала $\sigma = 0,65$).

Качественно аналогичная картина наблюдается и на выходе сопла II. Безразмерное давление в потоке здесь почти вдвое ниже, чем в сопле I, но потери давления более существенны (в центре сечения $\sigma = 0,34$). Поэтому число Маха, несмотря на значительное увеличение степени расширения, изменилось мало и в центре сечения равно 4,46.

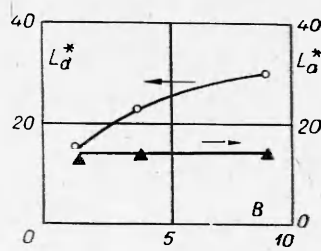
Поля газодинамических параметров в канале за сотовым соплом приведены в [11]. Они отличаются существенной неравномерностью, обусловленной перегородками между отдельными отверстиями.

По результатам опытов, показанных на фиг. 1, были вычислены характеристики осредненного потока с тем же расходом, количеством движения и теплосодержанием, что и в неравномерном потоке. Использовался упрощенный метод осреднения [12]. Расчет дал следующие средние параметры потока: $\langle P'_0 \rangle_A = 5,00 \cdot 10^{-2}$ (при $M^0 = 5,13$ $P'_0 = 5,42 \times 10^{-2}$), $\langle M \rangle_A = 3,90$, $\langle \sigma \rangle_A = 0,33$.

3. При установке сопла I опыты проводились с каналами, имевшими соотношение сторон $B = 1,2; 3,8; 8,9$. Распределение давления на стенке для указанных значений B приведено на фиг. 2, $a - e$ соответственно (сопла II и III использовались только с каналом $B = 3,8$). По оси ординат слева отложено относительное давление на стенке, а по оси абсцисс внизу — безразмерная длина $L_d = l/d$, где l — расстояние от выходного сечения сопла, а d — гидравлический диаметр.



Фиг. 3



Фиг. 4

Опыты с каналами $B = 1,2$ и $3,8$ проводились при $p_{\phi} = 2,1$ МПа, а при $B = 8,9$ $p_{\phi} \approx 3$ МПа. Каждая кривая на фиг. 2 соответствует определенной производительности эжектора.

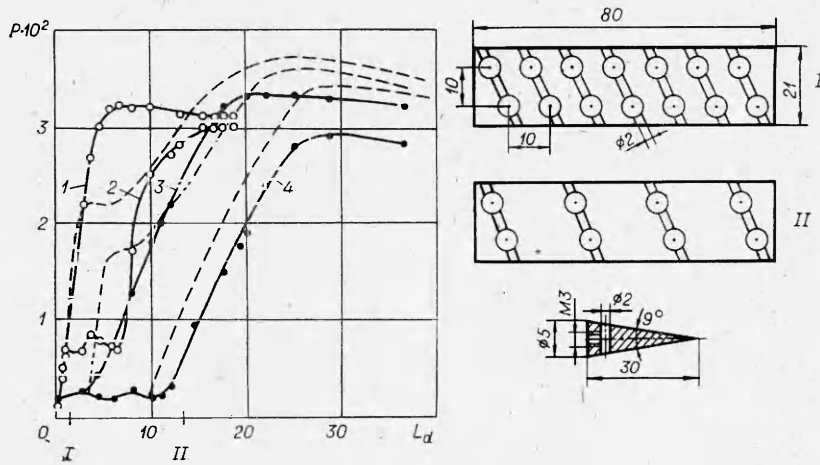
Качественно характер зависимостей $P(L_d)$ соответствует имеющимся результатам об изменении давления в псевдоскачке, полученным в цилиндрических трубах. Однако в каналах с большим соотношением сторон плавный ход зависимости $P(L_d)$ иногда нарушается (кривые 6, 7, 12—14). По всей видимости, при больших B особенность изменения давления в данных опытах связана с отрывом потока. Ранее в [6] отрывное течение в начальном участке псевдоскачки наблюдалось в каналах с $B = 3—20$, причем отмечалась асимметрия потока. Трехмерность потока, сохраняющаяся на значительном расстоянии, обнаружена также в [5] для канала $B = 8$. Часть опытов проводилась в укороченных каналах длиной, равной расстоянию до сечений A и B (см. фиг. 2, б). Полученные в этих измерениях зависимости $P(L_d)$ полностью совпадают с распределением давления на линии 6 до соответствующих сечений (аналогичные результаты получены в [3] для других условий). Следовательно, полученными зависимостями можно пользоваться и для определения эффективности диффузоров меньшей длины, чем в настоящих экспериментах.

Измерения параметров потока в поперечных сечениях псевдоскачки проводились с соплом I ($B = 3,8$) при $p_{\phi} = 2,1$ МПа. Расположение сечений, в которых велось зондирование, показано цифрами I—IV на фиг. 2, б. Результаты измерений и обработки опытных данных приведены на фиг. 3.

4. Рассмотрим вопрос о длине псевдоскачки l^* , равной расстоянию от начала резкого подъема до сечения с максимальным давлением. Из-за пологости максимума точное определение l^* затруднительно. На основании экспериментальных данных, приведенных на фиг. 2 (кривые 1—4, 6—9, 11—14), относительная длина псевдоскачки $L_d^* = l^*/d = 15,5 \pm \pm 1,5; 23 + 2$ и 35 ± 5 при $B = 1,2; 3,8$ и $8,9$ соответственно (для линий 5, 10 в пределах экспериментального участка максимум не достигнут). В подобных условиях в цилиндрической трубе $L_d^* = 13$ [1]. Зависимость $L_d^*(B)$ показана на фиг. 4. Длина диффузора постоянного сечения может быть сокращена без существенного снижения его эффективности. Например, давление, равное 0,95 от максимального, реализуется на расстоянии $L_d^*(0,95) = 10,5 \pm 1; 17 \pm 1; 24 \pm 3$ при $B = 1,2; 3,8$ и $8,9$ соответственно.

Известно [1], что L_d^* зависит от среднего числа Маха M_1 в начальном сечении псевдоскачки. В данных опытах величина M_1 изменялась в пределах $\sim 4—3$. Четкой зависимости $L_d^*(M_1)$ из-за пологости максимума определить не удалось. Можно только отметить, что верхняя граница L_d^* , как правило, соответствует большему M_1 . Приведенные выше значения L_d^* включают и результаты опытов с соплами II, III.

Влияние высоты h и ширины b прямоугольного канала ($B = b/h > > 1$) на длину псевдоскачки неодинаково. На основе проведенных экспе-



Фиг. 5

риментов было получено эмпирическое соотношение

$$(4.1) \quad L_a^* = l^*/a = 14,$$

где эффективный размер $a = h^{0.3}b^{0.7}$. Зависимости $L_a^*(B)$ и $L_d^*(B)$ показаны на фиг. 4, а на фиг. 2 по оси абсцисс сверху отложено безразмерное расстояние $L_a = l/a$.

При $h = b$ формула дает значение, близкое к длине псевдоскачки в цилиндрических трубах [1]. Для другого предельного случая ($b/h \rightarrow \infty$) из (4.1) следует физически неверное значение L_a^* . Однако исследованный диапазон $B = 1,2\text{--}8,9$ вполне достаточен для многих практических приложений.

Были проведены эксперименты, имевшие целью уменьшить длину области торможения. Для этого в опытах с соплом I ($B = 3,8$) на расстоянии $L_d = 1,6$ устанавливалась решетка I из 14 конусов. В другом эксперименте использовалась решетка II с 8 конусами, размещенная в сечении $L_d = 13,6$. Детали конструкции решетки и результаты экспериментов показаны на фиг. 5.

Видно, что произошло значительное (в 2—4 раза) сокращение длины псевдоскачки в том случае, когда решетка I находилась в сечении $L_d = 1,6$ (фиг. 5, кривые 1, 2). Одновременно приблизительно на 10—20 % уменьшилась максимальная эффективность восстановления давления (штриховые линии — данные фиг. 2, б для невозмущенного течения).

Установка решетки из 8 конусов в сечение $L_d = 13,6$ значительно слабее сказалась на длине псевдоскачки (фиг. 5, линии 3, 4), уменьшение L_d^* составило $\sim 30\%$. Результат можно объяснить тем, что в потоке перед решеткой слабовозмущенное ядро потока невелико. Поэтому дополнительные возмущения от конусов малоэффективны.

5. Прежде чем перейти к анализу эффективности диффузора постоянного сечения, определим диапазон ее изменения. Как и в [1], псевдоскачок заменим прямым скачком с параметрами перед ним, вычисленными из уравнений сохранения массы и энергии адиабатического потока. В результате получим уравнение для нахождения осредненных параметров за псевдоскачком (текущее в критическом сечении считается одномерным):

$$(5.1) \quad p_{00}A^* = p_{01}Aq(\lambda_1) = p_{02}Aq(\lambda_2).$$

Здесь p_{00} — начальное полное давление; p_{01} , p_{02} — осредненное полное давление до и за псевдоскачком (в дальнейшем индексы 1 и 2 будут соответствовать средним параметрам в этих сечениях); λ — коэффициент скорости; $q(\lambda) = ((k+1)/2)^{1/(k-1)} \lambda (1 - \lambda^2(k-1)/(k+1))^{1/(k-1)}$; k — показатель адиабаты; A^* , A — площади критического сечения и канала соот-

ветственно. Из (5.1) следует

$$(5.2) \quad \sigma = \frac{p_{02}}{p_{00}} = \frac{A^*}{A} \frac{1}{q(\lambda_2)} = \frac{q(\lambda^0)}{q(\lambda_2)},$$

где λ^0 — геометрическое значение коэффициента скорости на выходе из сопла, определяемое величиной A/A^* и соответствующее идеальному расширению газа (в дальнейшем индекс 0 вверху соответствует параметрам такого течения). При отсутствии трения и теплообмена значение $\sigma^0 = p_{02}^0/p_{00}$ находится из соотношения для прямого скачка

$$(5.3) \quad \sigma_0 = q(\lambda^0)/q(1/\lambda^0).$$

Разделим (5.2) на (5.3) и, используя связь $\lambda_2 = 1/\lambda_1$ для прямого скачка применительно к осредненным параметрам, найдем отношение полного давления за скачком p_{02} к максимально возможному p_{02}^0 :

$$(5.4) \quad \eta_0^0 = \frac{\sigma}{\sigma_0} = \frac{p_{02}}{p_{02}^0} = \frac{q(1/\lambda^0)}{q(1/\lambda_1)}.$$

Аналогичное соотношение статических давлений имеет вид

$$(5.5) \quad \eta^0 = \frac{p_2}{p_2^0} = \frac{y(1/\lambda^0)}{y(1/\lambda_1)},$$

где $y(\lambda) = ((k+1)/2)^{1/(k-1)} \lambda / (1 - \lambda^2(k-1)/(k+1))$.

Близкий к изложенному, но не идентичный подход использован в [10, 13] для анализа потерь в тракте гиперзвуковых аэродинамических труб. Коэффициент восстановления полного давления в условиях, характерных для таких установок, оказался близким к σ^0 (см. формулу (5.3)). Проведенный там же параметрический анализ влияния толщины пограничного слоя в выходном сечении гиперзвукового сопла показал, что даже в случае сильного изменения числа Маха в ядре потока рост потерь полного давления по сравнению с (5.3) составляет несколько процентов при $M^0 = 10-18$. Полученный в [10, 13] основной результат следует из (5.4) при $\lambda_1 \rightarrow \lambda^0$.

В проведенном затем эксперименте на аэродинамической трубе отклонение от этого правила оказалось небольшим даже при $M^0 = 3,7$ [14]. Однако возможность распространения результатов [10, 13] на сверхзвуковой диапазон скоростей и произвольно большую длину канала не исследована. Поэтому проанализируем более строго пределы изменения потерь при торможении сверхзвукового потока в канале постоянного сечения.

Осредненное значение коэффициента скорости в начальном сечении псевдоскачки может изменяться в пределах $\lambda^0 \leq \lambda_1 \leq 1$. При $\lambda_1 = \lambda^0$ коэффициенты эффективности псевдоскачки достигают наибольшего значения $\eta_0^0 = \eta^0 = 1$. В другом предельном случае ($\lambda_1 = 1$) эффективность торможения в псевдоскачке минимальна. Значения $\eta_{0 \min}^0$ и η_{\min}^0 приведены в табл. 2 в функции геометрического числа Маха M^0 .

Эффективность восстановления давления $\eta_0^0 = \eta^0 \approx 1$ физически реализуется в тракте установок с хорошо профилированным соплом при больших Re и начале псевдоскачки вблизи выходного сечения сопла, ког-

Таблица 2

M^0	$\eta_{0 \min}^0$	η_{\min}^0	M^0	$\eta_{0 \min}^0$	η_{\min}^0
3	0,72	0,44	10	0,61	0,36
5	0,65	0,38	∞	0,60	0,32

да относительная толщина вытеснения пограничного слоя δ_1^*/d мала. И, наоборот, минимальные величины η_{\min}^0 и η_{\min}^* соответствуют малым Re и (или) смещению псевдоскачки далеко вниз по потоку. Из табл. 2 видно, что в рамках рассматриваемой модели потери, связанные с вязкими эффектами, не очень сильно изменяют полное давление в псевдоскачке даже в предельном случае: $M^0 \rightarrow \infty$, $M_1 = 1$ ($\eta_{\min}^0 = 0,60$).

Предельно малые значения η_{\min}^0 в известных нам работах не достигались из-за малости относительной длины канала (для соответствующих Re). В настоящих экспериментах такой случай реализовался в канале $B = 8,9$ (см. линию 15 на фиг. 2, *в*). В конце этого канала (отмечено вертикальной штриховой линией) была определена величина среднего числа Maxa. При этом, как и в [1], использовалось соотношение

$$(5.6) \quad y(M_1) = \frac{1}{P_1} \frac{1}{A/A^*},$$

следующее из уравнений сохранения массы и энергии в предположении постоянства P_1 по сечению канала. Расчет дает значение $M_1 \approx 1$. Рост давления после небольшого расширения потока (справа от штриховой линии) говорит о том, что в рассматриваемом сечении поток «в среднем», скорее всего, дозвуковой. Далее по формуле (5.5) была определена величина минимального относительного давления восстановления в псевдоскачке $\eta_{\min}^0 = 0,385$, которая находится в хорошем соответствии с экспериментом ($\eta_{\min}^0 = 0,39$). Это совпадение свидетельствует о реалистичности допущений, использованных при выводе (5.5) и (5.6).

Теперь посмотрим, насколько сильно достигнутые в опытах значения давления отличаются от максимально возможного. При этом вновь обратимся к фиг. 2, где по оси ординат справа отложено значение $P^0 = p/p_2^0$ (при вычислении p_2^0 для каналов $B = 1,2$ и $8,9$ учтено поджатие сечения перегородками). Наибольшие значения коэффициента η^0 (P^0 в точке максимума) в настоящих экспериментах равны 0,86; 0,82 и 0,76 при $B = 1,2$; 3,8 и 8,9 соответственно. Максимальная эффективность восстановления полного давления определялась в опытах с соплом I ($B = 3,8$), когда начало псевдоскачки находилось сразу за выходным сечением сопла, а измерения проводились на расстоянии $L_d = 36$. Осредненное по площади значение $\langle p_{02 \max} \rangle = 4,65 \cdot 10^{-2}$ соответствует $\eta_c^0 = 0,9$.

Итак, несмотря на большие потери в сопле и значительное отличие среднего числа Maxa от расчетного, максимальная эффективность восстановления давления в псевдоскачке близка к предельной для данной степени расширения сопла. Это находится в соответствии с (5.4), (5.5), поскольку в данной ситуации величина λ_1 мало отличается от λ^0 . Аналогичный вывод, как уже упоминалось ранее, получен в [10, 13] на основе расчетного анализа влияния пограничного слоя в гиперзвуковом сопле на величину σ .

В экспериментах с соплами II и III, отличающихся от сопла I профилем до- и сверхзвуковой части и степенью расширения, получены близкие к указанным выше максимальные значения коэффициентов эффективности. Так, для сопла II $\eta^0 = 0,90$ и $\eta_c^0 = 0,95$. На фиг. 2, *б* штриховой линией показана зависимость $P^0(L_d)$ для блока конических сопел. В этом случае $\eta^0 = 0,78$ и $\eta_c^0 = 0,80$. Для сравнения приведем также значение η_{\max}^0 для цилиндрических труб. В условиях опытов [1] $\eta_{\max}^0 = 0,90$. На основании полученных результатов можно констатировать, что способ профилирования и даже метод получения сверхзвукового потока (сопла или сопловые блоки) в исследованном диапазоне A/A^* влияют на потери в самих сопловых устройствах и определяют распределение параметров в выходных сечениях, но мало изменяют максимальную эффективность восстановления давления. Форма поперечного сечения канала также практически не изменяет значения η_{\max}^0 .

Тем не менее коэффициенты η_c^0 и η^0 не являются достаточно общей характеристикой псевдоскачки, так как определяют эффективность восстановления давления в системе сопло — диффузор. Для сопоставления эффективности собственно псевдоскачки, полученной в различных экспериментальных условиях, логичнее использовать параметр

$$(5.7) \quad \eta = p_2/p_{21}(M_1),$$

где p_2 — максимальное давление в канале в случае произвольного расположения начала псевдоскачки относительно среза сопла (сечение L_1); p_{21} — расчетное давление за прямым скачком при $M = M_1$ и $p = p_1$. Число Маха в сечении L_1 находится из соотношения (5.6) по известным P_1 и A/A^* .

Учтем далее в (5.6) коэффициент расхода сопла μ :

$$(5.8) \quad y(M_1) = \mu(1/P_1)(A/A^*)^{-1}$$

и введем параметр

$$(5.9) \quad \eta' = p_2/p'_{21}(M_1),$$

где $p'_{21} = p_{21} - \Delta p$. Уменьшение давления в псевдоскачке за счет трения Δp , как показали расчеты, относительно невелико, по крайней мере, при $Re_d \geq 10^4$. Об этом же свидетельствуют опыты [16]. Поэтому для оценки Δp использовались данные для стабилизированного течения в трубах, а число Re_d вычислялось по параметрам потока за прямым скачком в начальном сечении псевдоскачки. Такой результат приведен в [2].

Значения η и η' , вычисленные на основании (5.6), (5.7) и (5.8), (5.9) соответственно, приведены в табл. 3 для экспериментов с соплом I ($Re_d = (2-3) \cdot 10^5$). Предполагалось, что $\mu = 1$. Близкие к указанным результаты были получены и при большей степени расширения (сопло II): $\eta = 0,89-0,94$, $\eta' = 0,94-1$. Отметим здесь, что и для цилиндрических труб $\eta = 0,95-0,99$. Отличие η' от единицы связано с предположением $\mu = 1$, приближенностью учета трения и другими допущениями анализа, а также точностью эксперимента. Однако в целом можно констатировать консервативность этой характеристики псевдоскачки к изменению формы и степени расширения сопла, конфигурации канала и предыстории потока.

С другой стороны, длина псевдоскачки в большей степени подвержена влиянию различных факторов. Об этом, в частности, свидетельствуют результаты данных опытов, а также [3, 16].

С учетом сказанного о параметре η' были проанализированы имеющиеся в литературе данные по эффективности псевдоскачки в прямоугольных каналах. Условия экспериментов отражены в табл. 4.

Во всех рассмотренных работах η' ниже, чем в цилиндрической трубе и в прямоугольном канале в условиях данных опытов. По нашему мнению, основной причиной низкой эффективности торможения потока в анализируемых исследованиях является недостаточная длина канала. За исключением [3], она оказалась меньше установленной в настоящих экспериментах протяженности псевдоскачки (см. фиг. 4). В этом случае механизм псевдоскачки реализуется лишь частично (см. точки A , B на фиг. 2, б). Относительно работы [3], где $L > L^*$ и тем не менее $\eta \ll 1$, можно сказать следующее. По всей видимости, автор использовал другой метод определения η или же просто неверно вычислил отношение давлений. С использованием приведенных на фиг. 8 в [3] исходных данных было

Таблица 3

Номер линий на фиг. 2	η	η'	Номер линий на фиг. 2	η	η'
1	0,91	0,96	7	0,82	0,88
3	0,92	0,99	8	0,80	0,88
6	0,86	0,92	11	0,81	0,88

Таблица 4

Источник	A/A^* , (M^0)	B	L'_d	η'
[6]	16,56	9,08	9	0,47
		3	12	0,67
[4], фиг. 5, 6	19,3	7,65	6,4	0,7
[5]	(3)	8	12	0,65 *
[7]	(5)	4,5	15	0,52 *
[3], фиг. 8	(3)	2	15	0,58—0,77 **

* $p_{\max}/p_2(M^0)$, ** η .

получено $\eta' = 0,98—0,99$, что полностью соответствует результатам настоящих опытов.

Итак, в результате проведенного исследования найдена зависимость протяженности псевдоскачки в прямоугольном канале от соотношения сторон при $M_1 = 3—4$. В том случае, когда длина канала больше значений, даваемых соотношением (4.1), максимальное давление восстановления близко к его значению в круглой трубе. Низкая эффективность прямоугольных диффузоров в предыдущих исследованиях связана в основном с недостаточной длиной экспериментального канала.

Величина коэффициента эффективности псевдоскачки ($\eta' = 0,9—1$) не зависит от степени расширения и формы соплового устройства, конфигурации канала и предыстории потока. Таким образом, результаты данной работы позволяют выбрать оптимальную длину и определить давление на выходе прямоугольного диффузора постоянного сечения при $B \leq 9$ и $M_1 = 3—4$.

ЛИТЕРАТУРА

1. Newman E. P. and Lustwerk F. Supersonic diffusers for wind tunnels.— J. Appl. Mech., 1949, vol. 16, N 2.
2. Зимонт В. Л., Острась В. Н. Торможение в псевдоскачке при сверхзвуковом течении в каналах.— В кн.: Тр. четвертых чтений Ф. А. Цандера. Секция «Теория и конструкция двигателей и летательных аппаратов». М., 1976.
3. Меркли. Восстановление давления в сверхзвуковых диффузорах с прямоугольным поперечным сечением постоянной площади.— РТК, 1976, т. 14, № 2.
4. Краузе З. Экспериментальное исследование сверхзвуковых диффузоров с большим соотношением сторон поперечного сечения и низкими числами Рейнольдса.— РТК, 1981, т. 19, № 1.
5. Хасингер, Миллер. Экспериментальное исследование сверхзвукового диффузора прямоугольного сечения.— РТК, 1975, т. 13, № 4.
6. Кузьмин В. А. Торможение сверхзвукового потока в прямоугольных каналах.— В кн.: Газодинамика двигателей летательных аппаратов. № 1. Казань, 1978.
7. Fishburn E. S., Snedeker R. S. and Coleman Dup Donaldson. Investigation of gas dynamic phenomena associated with high power lasers. A. R. A. P. Report N 228, 1974.
8. Кталхерман М. Г., Мальков В. М., Рубан Н. А. Экспериментальное исследование течения в соплах газодинамических лазеров.— Изв. АН СССР. МЖГ, 1980, № 5.
9. Director M. N. Aerodynamic parameters affecting practical gas dynamic laser design.— AIAA Paper N 73—626, 1973.
10. Межиров И. И. Исследование течений в гиперзвуковых соплах аэродинамических труб.— Тр. ЦАГИ, 1981, вып. 2119.
11. Баев В. К., Кталхерман М. Г., Мальков В. М., Рубан Н. А. Характеристики потока и восстановление давления в прямоугольном канале за решеткой осесимметрич-

- ных сопел.— В кн.: Газодинамика течений в соплах и диффузорах. Новосибирск, 1982.
12. Лыжин О. В., Межиров И. И. Об осреднении полного давления неравномерного газового потока.— Учен. зап. ЦАГИ, 1980, т. XI, № 3.
 13. Межиров И. И. О потерях полного давления в гиперзвуковой аэродинамической трубе.— Инж. журнал, 1965, т. V, № 2.
 14. Межиров И. И., Чистов Ю. И. Исследование восстановления полного давления в потоке за гиперзвуковыми соплами.— Учен. зап. ЦАГИ, 1981, т. XII, № 2.
 15. Тихомиров Ю. А. Исследование влияния числа Re на коэффициент восстановления давления в диффузоре гиперзвуковой трубы.— Учен. зап. ЦАГИ, 1977, т. VIII, № 2.
 16. Гурылев В. Г., Трифонов А. К. Псевдоскачок в простейшем воздухозаборнике в виде цилиндрической трубы.— Учен. зап. ЦАГИ, 1977, т. VII, № 2.

Поступила 23/IX 1983 г.